BCPST1 – G. Furelaud 1/5

SV-E-3 poly 01

Enzymes et catalyse des réactions

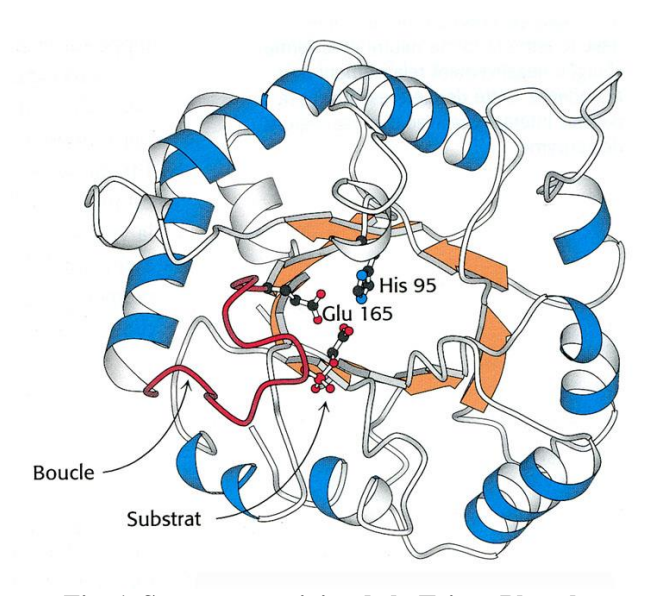


Fig. 1. Structure tertiaire de la Triose-Phosphate Isomérase.

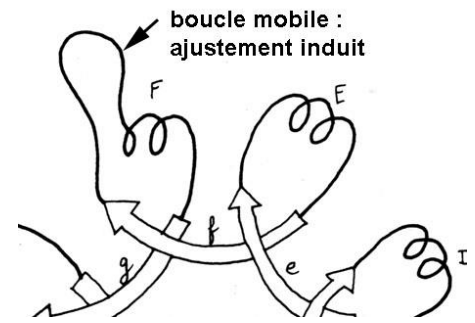


Fig. 3. Boucle mobile de la Triose-Phosphate Isomérase.

Cette boucle mobile permet un changement de conformation lors de la fixation du substrat (= ajustement induit lors de la formation du complexe Enzyme-Substrat).

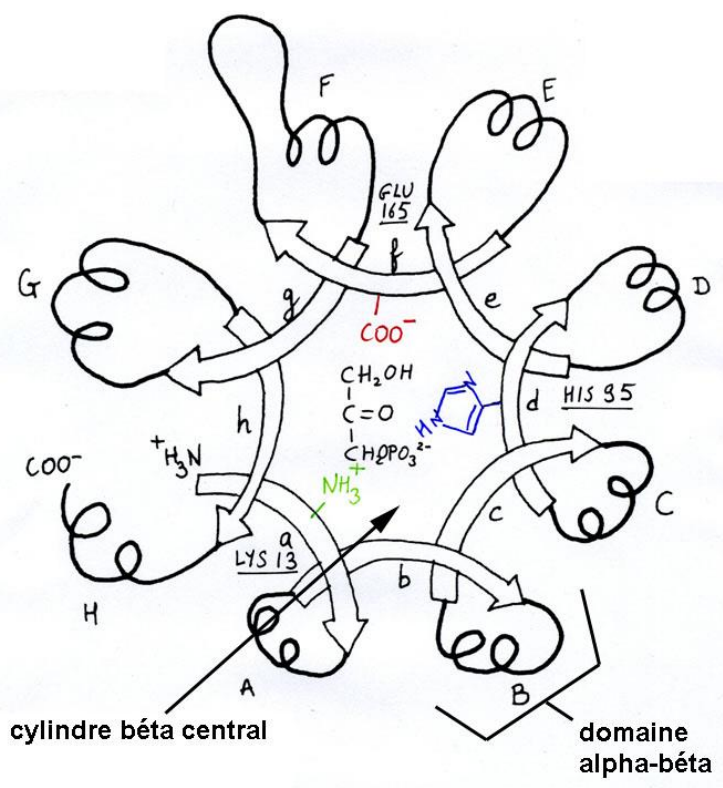
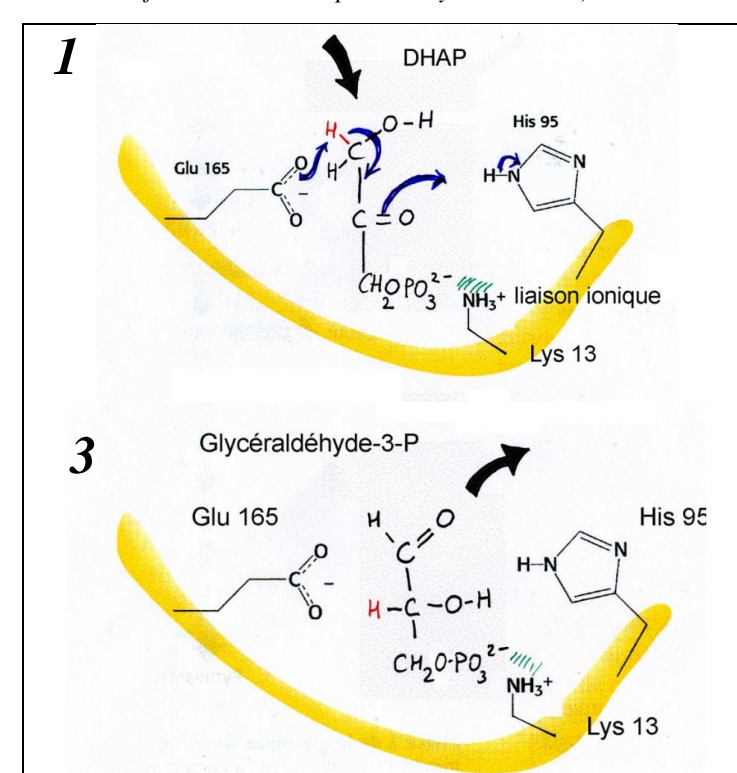


Fig. 2. Structure de la Triose-Phosphate Isomérase.

Les 8 domaines alpha-béta forment un cylindre, ménageant un espace au centre pour le substrat, autour duquel sont alors placés le glutamate 165, l'histidine 95 et la lysine 13.

Réaction catalysée : $DHAP \leftarrow \Rightarrow G3P$

 $DHAP : CHO-CHOH-CH_2OPO_3^{2-}$ $G3P : CH_2OH-CO-CH_2OPO_3^{2-}$



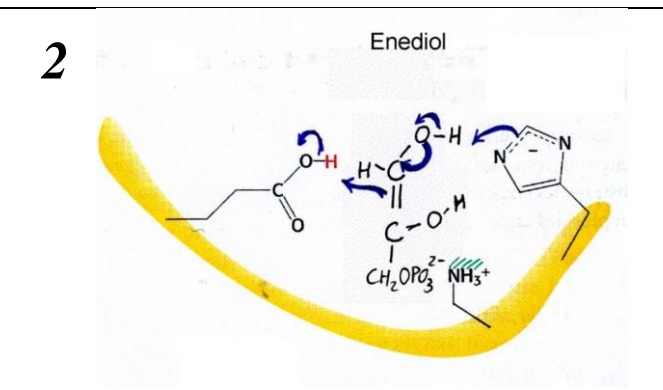


Fig. 4. Mécanisme enzymatique de la Triose-Phosphate Isomérase. **

Pour Information

Noter que les acides aminés intervenant dans la catalyse (Glu 165 et His 95) sont dans le même état de protonation au début et à la fin du mécanisme réactionnel. La catalyse fait ici intervenir des échanges de protons : il s'agit d'une catalyse acide – base.

BCPST1 – G. Furelaud 2/5

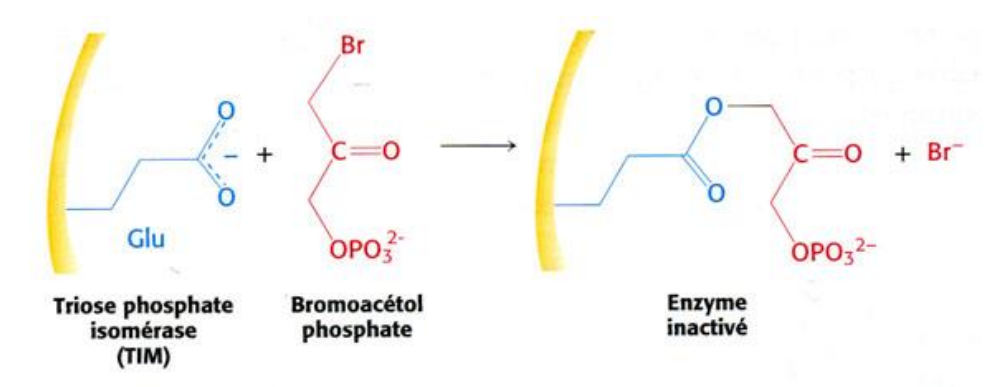
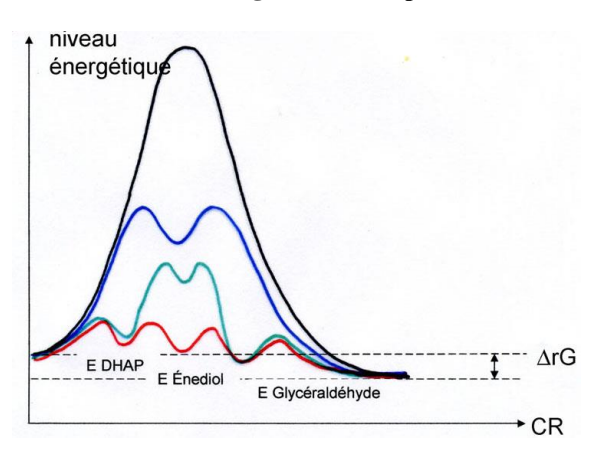


Fig. 5. Etude expérimentale de l'interaction entre la TPI et un analogue de substrat. **



Sans catalyseur
Avec catalyseur physico chimique
Avec TPI
Avec TPI dépourvue de boucle mobile

Fig. 6. Niveau énergétique et chemin réactionnel : mise en évidence des conditions thermodynamiques de la catalyse enzymatique par la Triose-Phosphate Isomérase. (CR = Chemin Réactionnel)

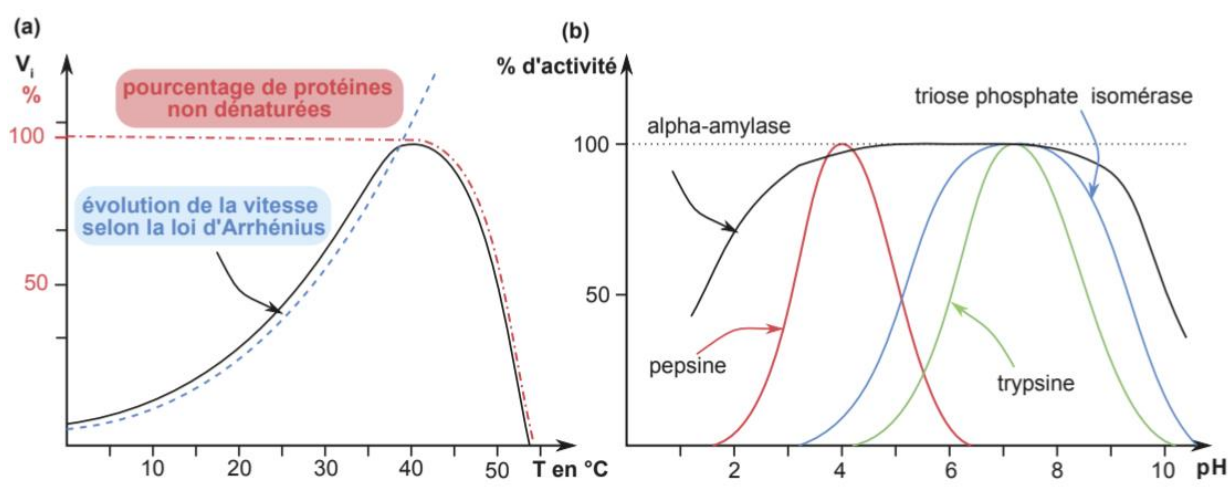


Fig. 7. Influence du pH (a) et de la température (b) sur les enzymes. *** [2]

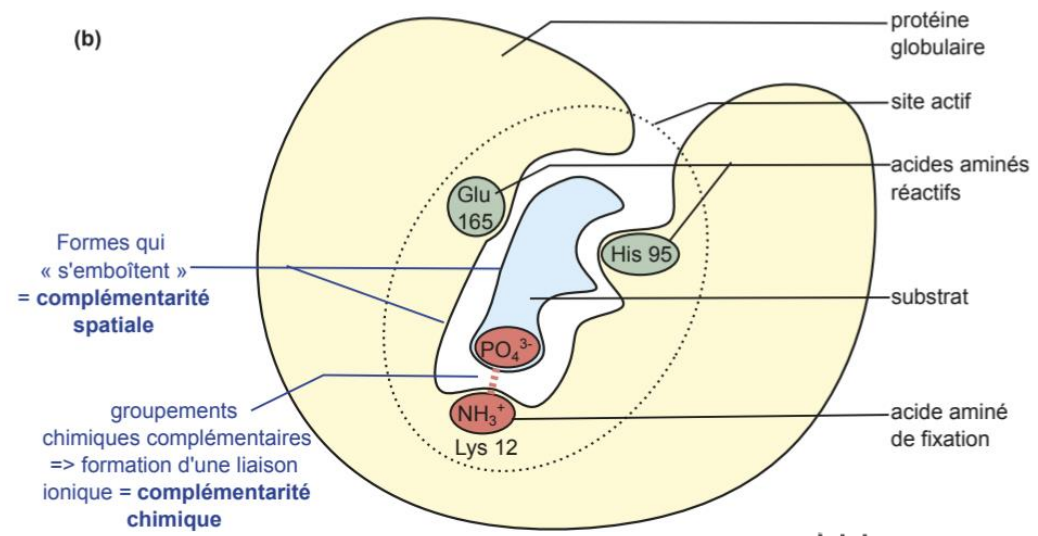


Fig. 8. Modélisation du complexe enzyme-substrat de la TPI. *** [2]

BCPST1 – G. Furelaud 3/5

Fig. 9. Un exemple de spécificité de substrat : la spécificité structurale de la Glucose oxydase *

glucose + O_2 + $H_2O \rightarrow$ glucono-1,4-lactone + H_2O_2

Substrat	Vitesse
β-D-glucose	100
α-D-glucose	0,6
2-désoxy-glucose	25
D-mannose	1
D-galactose	0,1

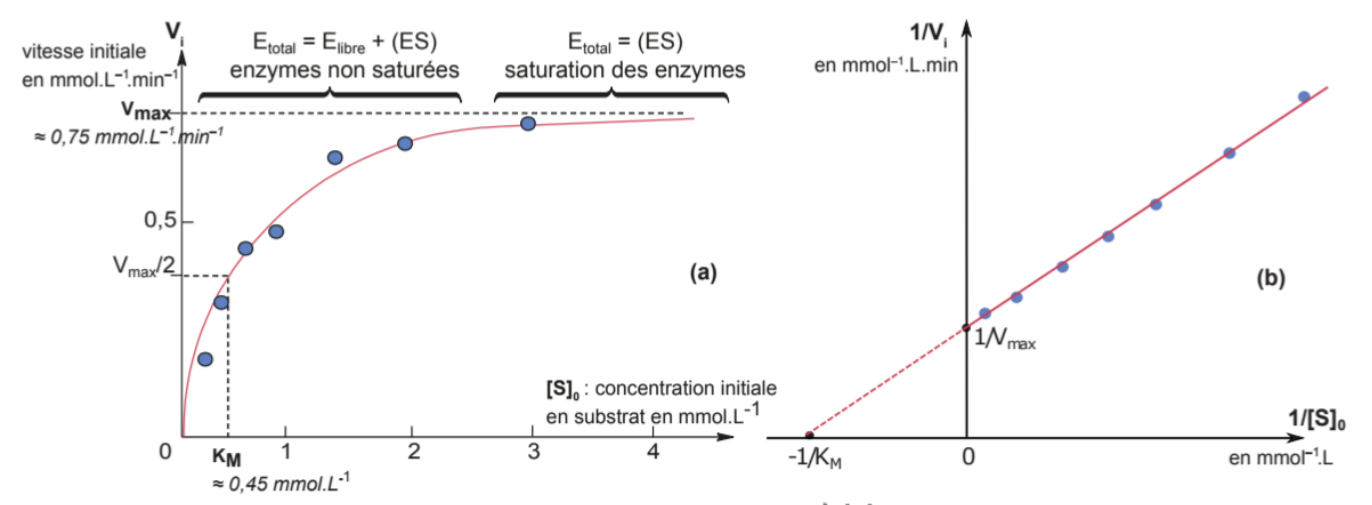


Fig. 10. Cinétique michaelienne.

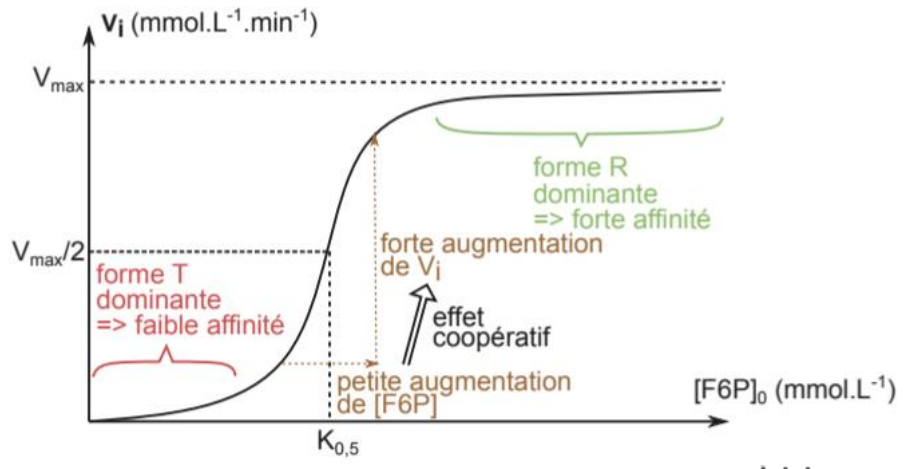
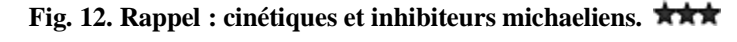
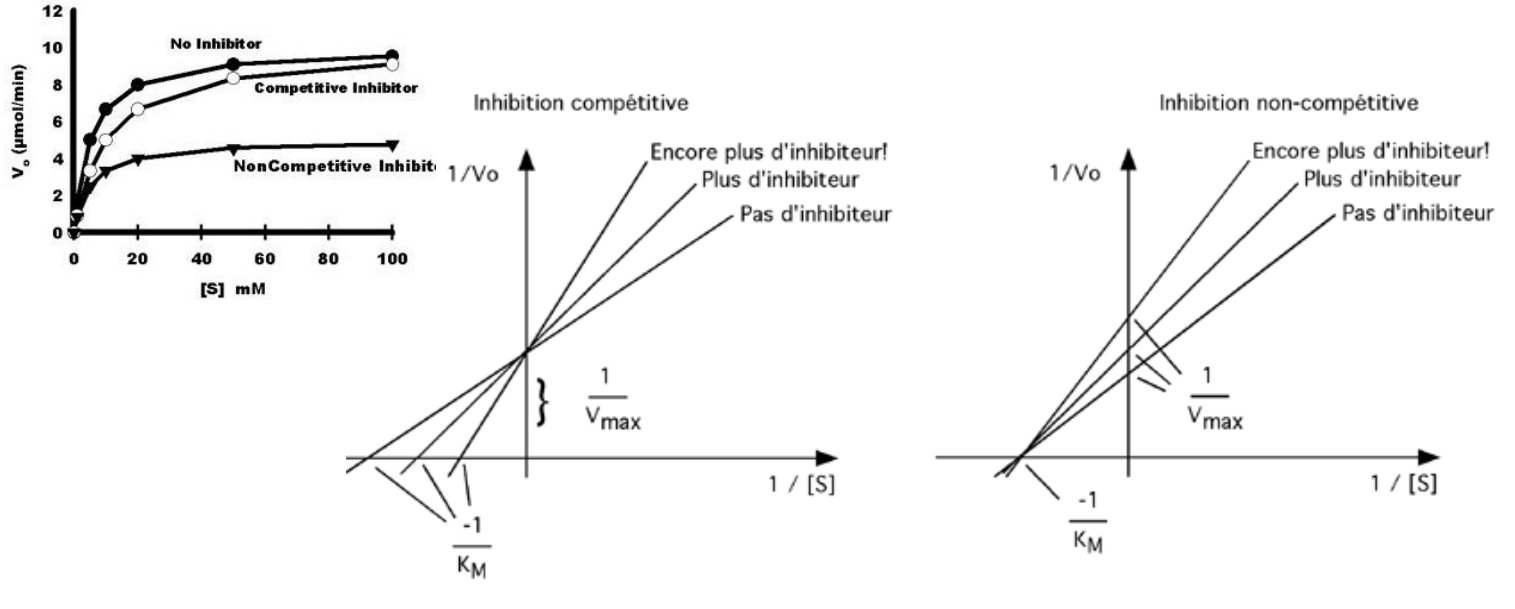


Fig. 11. Cinétique sigmoïde d'une enzyme allostérique, la PFK.





BCPST1 – G. Furelaud 4/5

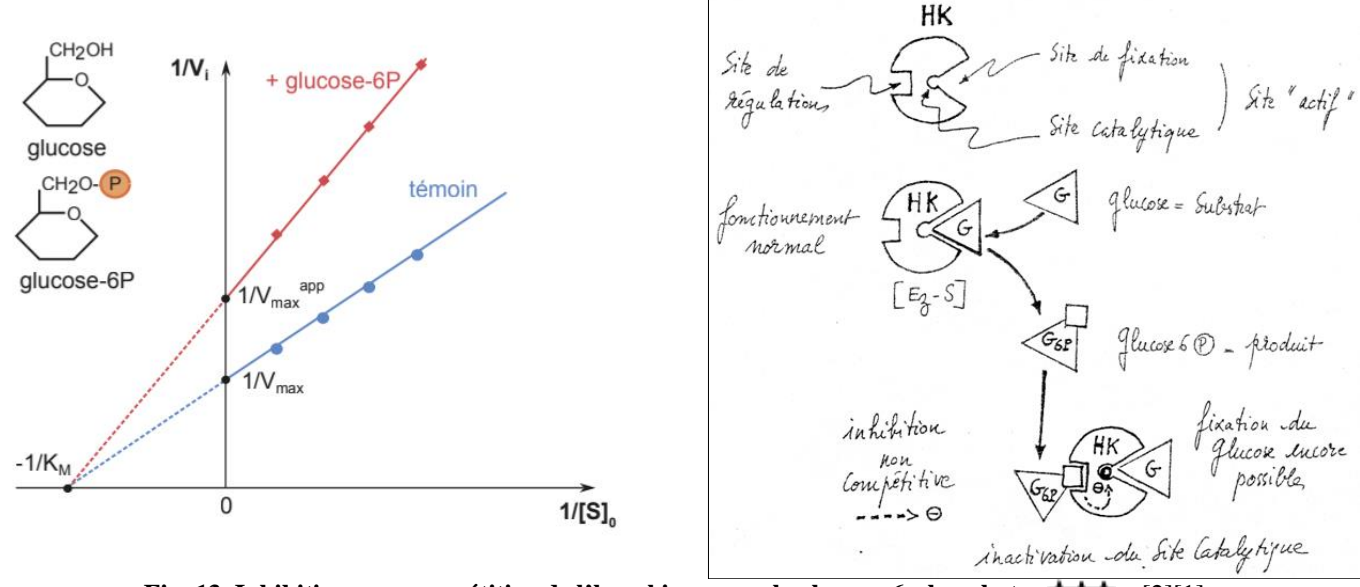


Fig. 13. Inhibition non compétitive de l'hexokinase par le glucose-6-phosphate.

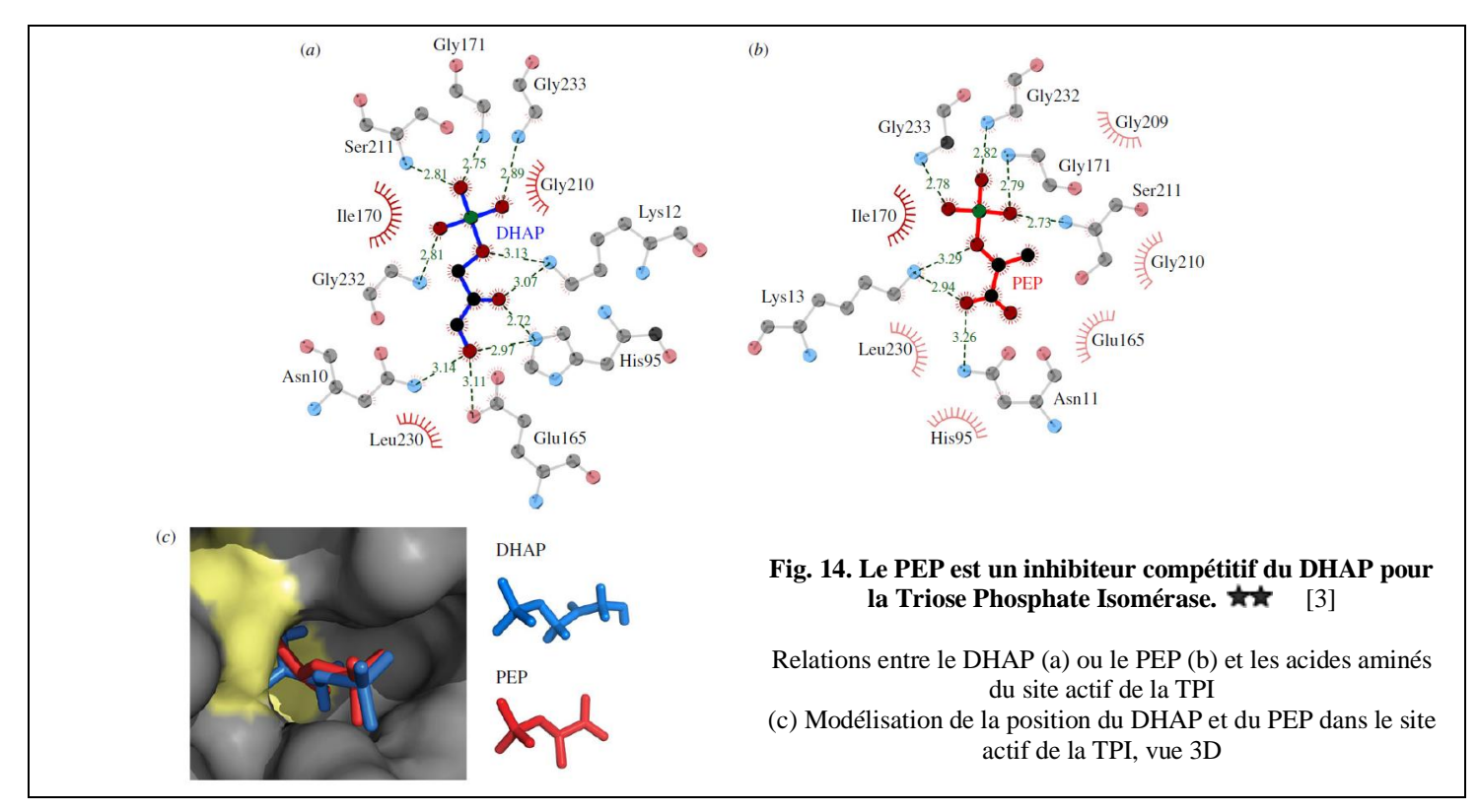
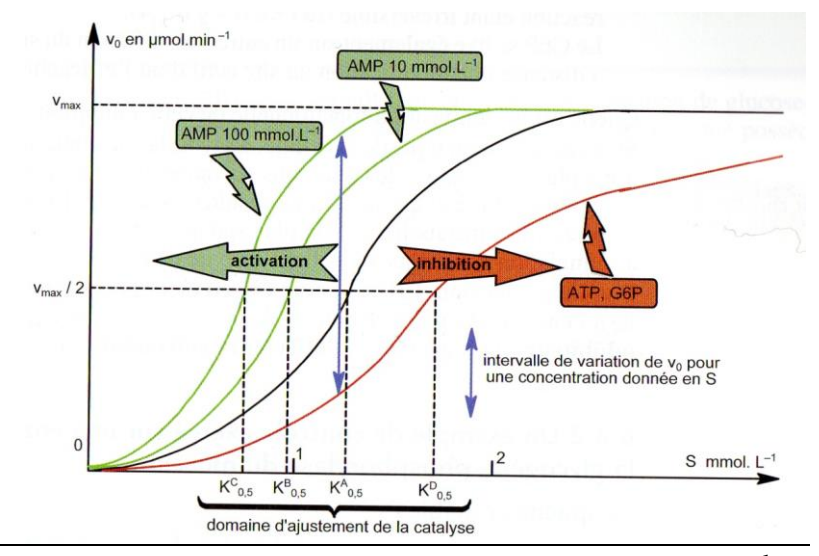


Fig. 15. Régulation allostérique de la glycogène phosphorylase musculaire.



BCPST1 – G. Furelaud 5/5

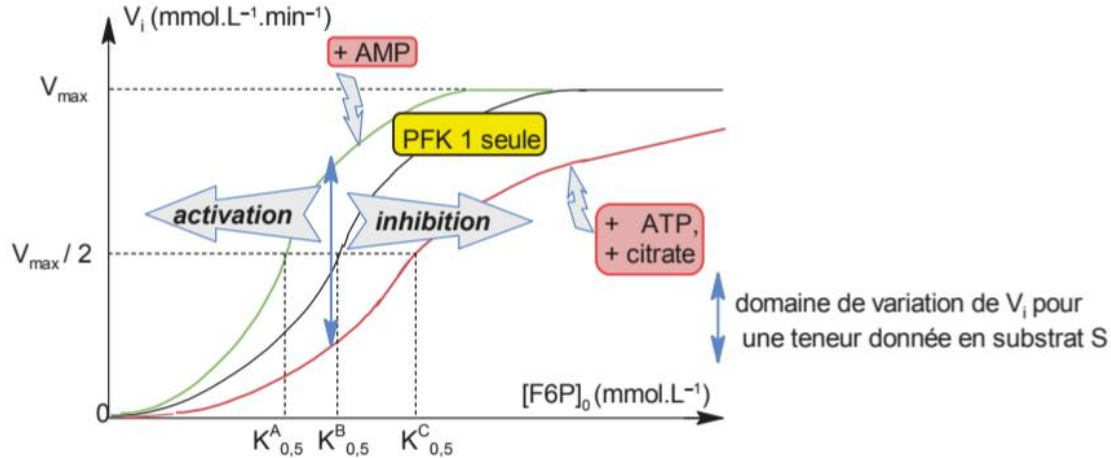


Fig. 16. Régulation allostérique de la PFK 1. *** [2]

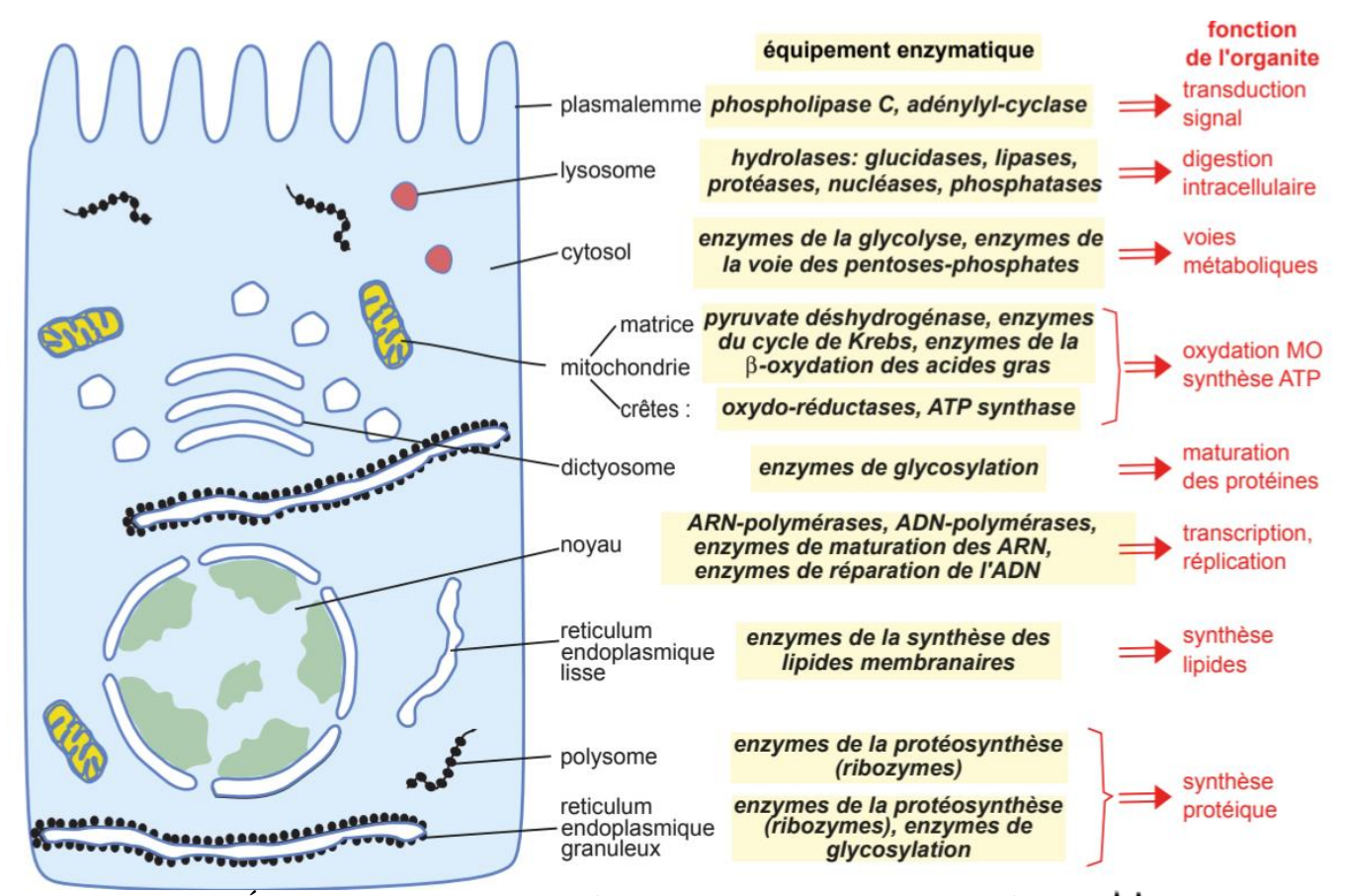


Fig. 17. Équipement enzymatique et spécialisation des organites dans un entérocyte. ** [2]

Références[1] ou absence de numéro : Ouvrage ou page Internet non précisé[2] C. Perrier et al. Biologie BCPST1 tout-en-un. Dunod

[3] NM. Grüning *et al.* Inhibition of triosephosphate isomerase by phosphoenolpyruvate in the feedback-regulation of glycolysis. Open Biol. 4: 130232 (2014)